



DEPARTAMENTO DE ESTATÍSTICA

30 abril 2024

Entrega 2

Prof. Dr. George von Borries

Aluno: Bruno Gondim Toledo

Matrícula: 15/0167636

Aluno: Stefan Zurman Gonçalves

Matrícula: 19/0116994

Tópicos 2

1º/2024

3)

a)

```
mu1 <- c(1, 0)
mu2 <- c(-1, 0)

sigma <- matrix(c(1, 0,
                  0, 1),2)

#set.seed(150167636)
df = data.frame(MASS::mvrnorm(100, mu1, sigma))
#set.seed(150167636)
df = rbind(df,data.frame(MASS::mvrnorm(100, mu2, sigma)))
df$grupo = factor(c(rep(1,100),rep(2,100)))
head(df)
```

```
##           X1           X2 grupo
## 1 0.65408392  0.01735763      1
## 2 2.28683119 -0.03165261      1
## 3 0.05700058  1.06282823      1
## 4 1.20371702 -0.28466400      1
## 5 1.59477755  1.80681352      1
## 6 0.36550526 -0.22113954      1
```

```
tail(df)
```

```
##           X1           X2 grupo
## 195 -1.68523561 -0.38403904      2
## 196 -0.66759153 -0.78971214      2
## 197 -2.55258577 -0.35725886      2
## 198  0.09816141 -0.12154460      2
## 199 -1.99222576  0.19291131      2
## 200 -1.43083719  0.02229874      2
```

b)

```
shapiro.test(df$X1)
```

```
##  
## Shapiro-Wilk normality test  
##  
## data: df$X1  
## W = 0.99476, p-value = 0.7139
```

```
shapiro.test(df$X2)
```

```
##  
## Shapiro-Wilk normality test  
##  
## data: df$X2  
## W = 0.99257, p-value = 0.4058
```

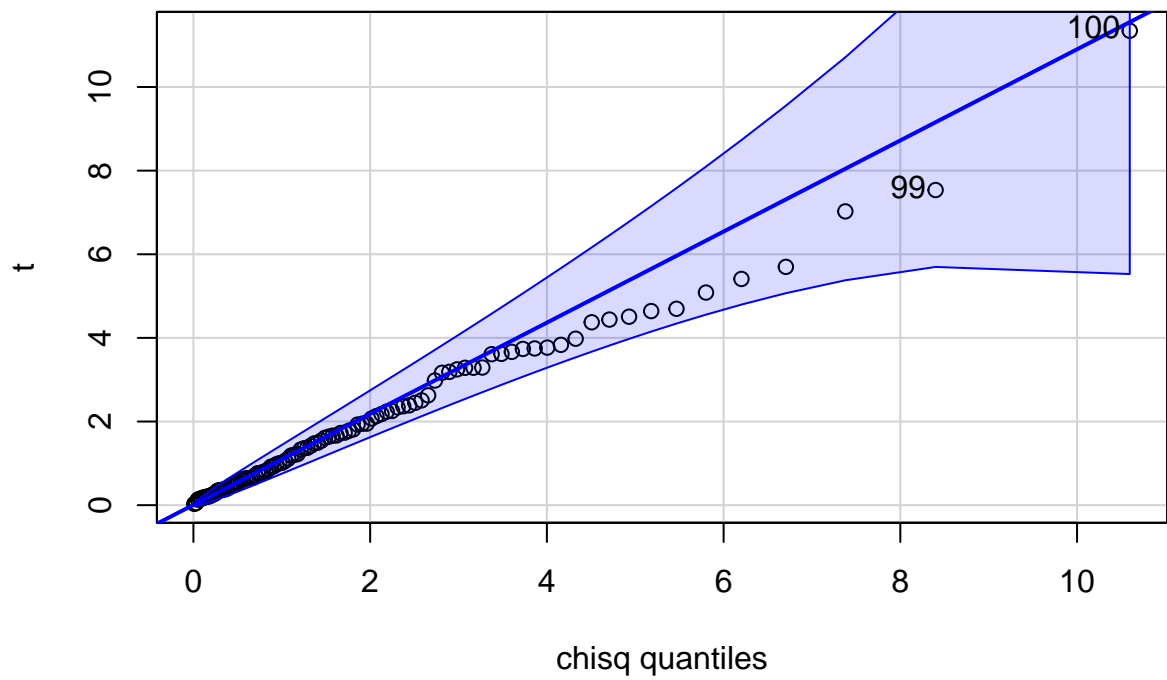
```
x1 = df |> filter(grupo == 1) |> dplyr::select(X1) |> pull()  
shapiro.test(x1)
```

```
##  
## Shapiro-Wilk normality test  
##  
## data: x1  
## W = 0.98578, p-value = 0.361
```

```
x2 = df |> filter(grupo == 1) |> dplyr::select(X2) |> pull()  
shapiro.test(x2)
```

```
##  
## Shapiro-Wilk normality test  
##  
## data: x2  
## W = 0.98846, p-value = 0.5429
```

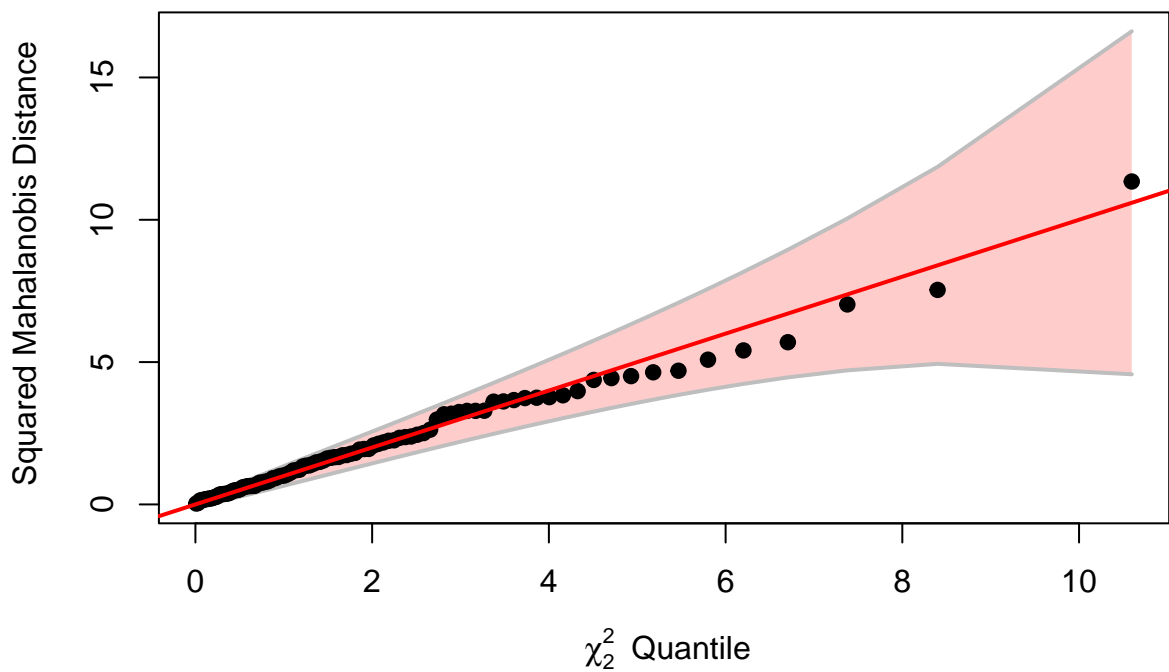
```
mu <- t(matrix(c(mean(x1),mean(x2)),1,2))  
S <- matrix(c(var(x1),cov(x1,x2),  
              cov(x1,x2),var(x2)),2,2)  
Sinv <- solve(S)  
  
distancias <- vector("numeric", length(x1))  
for (i in 1:length(x1)) {  
  xjx <- c(x1[i], x2[i]) - mu  
  distancia <- t(xjx) %*% Sinv %*% xjx  
  distancias[i] <- distancia  
}  
#distancias  
  
limite <- qchisq(.5, df = 2)  
prop1 <- sum(distancias < limite)/ length(distancias)  
  
t <- sort(distancias)  
car::qqPlot(t, dist="chisq", df=2)
```



```
## [1] 100 99
```

```
heplots::cqplot(data.frame(x1,x2))
```

Chi-Square Q-Q Plot of data.frame(x1, x2)



```
x1 = df |> filter(grupo == 2) |> dplyr::select(X1) |> pull()
shapiro.test(x1)
```

```
##
## Shapiro-Wilk normality test
##
```

```
## data: x1
## W = 0.99219, p-value = 0.8345
```

```
x2 = df |> filter(grupo == 2) |> dplyr::select(X2) |> pull()
shapiro.test(x2)
```

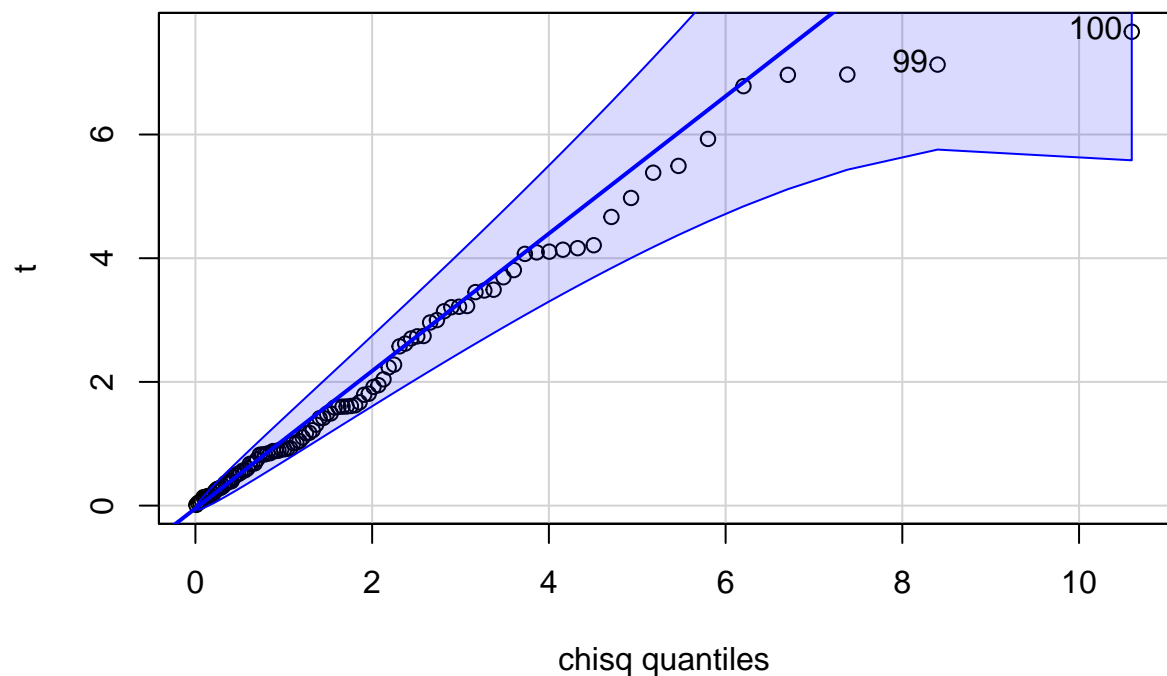
```
##
## Shapiro-Wilk normality test
##
## data: x2
## W = 0.99038, p-value = 0.6951
```

```
mu <- t(matrix(c(mean(x1),mean(x2)),1,2))
S <- matrix(c(var(x1),cov(x1,x2),
               cov(x1,x2),var(x2)),2,2)
Sinv <- solve(S)

distancias <- vector("numeric", length(x1))
for (i in 1:length(x1)) {
  xjx <- c(x1[i], x2[i]) - mu
  distancia <- t(xjx) %*% Sinv %*% xjx
  distancias[i] <- distancia
}
#distancias

prop2 <- sum(distancias < limite)/ length(distancias)

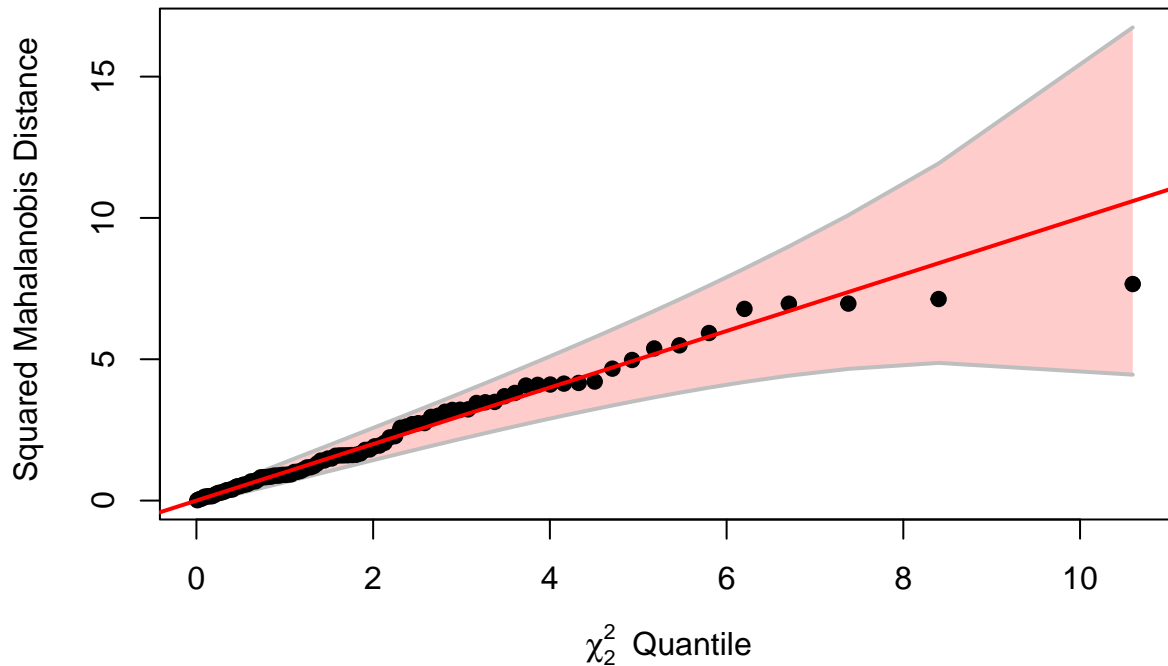
t <- sort(distancias)
car::qqPlot(t, dist="chisq", df=2)
```



```
## [1] 100 99
```

```
heplots::cqplot(data.frame(x1,x2))
```

Chi-Square Q-Q Plot of data.frame(x1, x2)

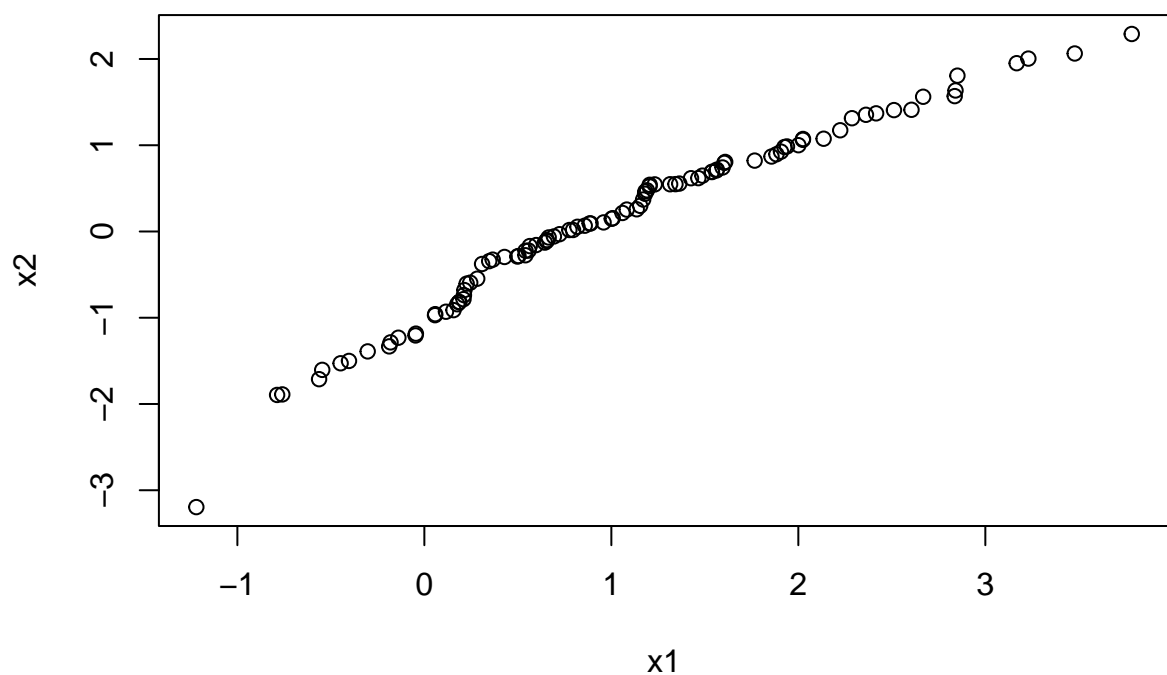


Os testes de shapiro-wilk não rejeitaram a normalidade de nenhuma variável à $\alpha = 0,05$. Além disso, observando os quantis da distribuição χ^2_2 não é possível rejeitar a normalidade multivariada dos dados.

```
x1 = df |> filter(grupo == 1) |> dplyr::select(X1) |> pull()
x2 = df |> filter(grupo == 1) |> dplyr::select(X2) |> pull()
knitr::kable(MVN::mvn(data.frame(x1,x2))$multivariateNormality)
```

Test	HZ	p value	MVN
Henze-Zirkler	0.549285	0.4904588	YES

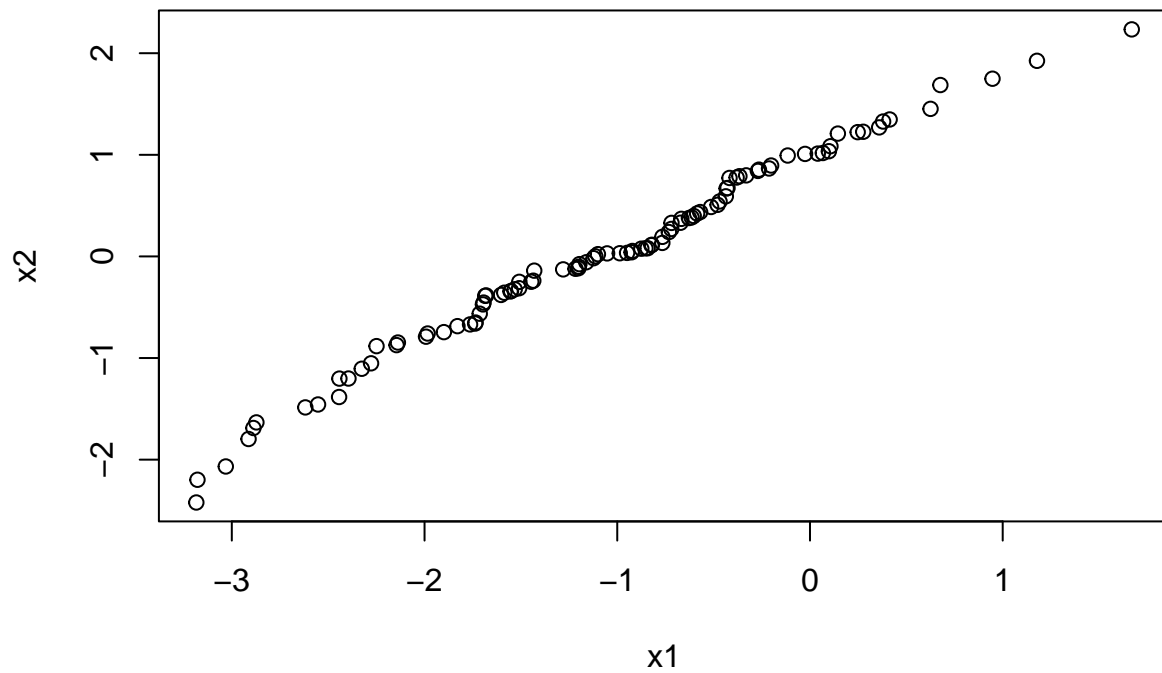
```
qqplot(x=x1,y=x2)
```



```
x1 = df |> filter(grupo == 2) |> dplyr::select(X1) |> pull()
x2 = df |> filter(grupo == 2) |> dplyr::select(X2) |> pull()
knitr::kable(MVN::mvn(data.frame(x1,x2))$multivariateNormality)
```

Test	HZ	p value	MVN
Henze-Zirkler	0.4049429	0.8030533	YES

```
qqplot(x=x1,y=x2)
```



Testes extras contidos no pacote **MVN** também reforçam a hipótese nula de normalidade multivariada dos dados. O gráfico qq também reforça a hipótese.

c)

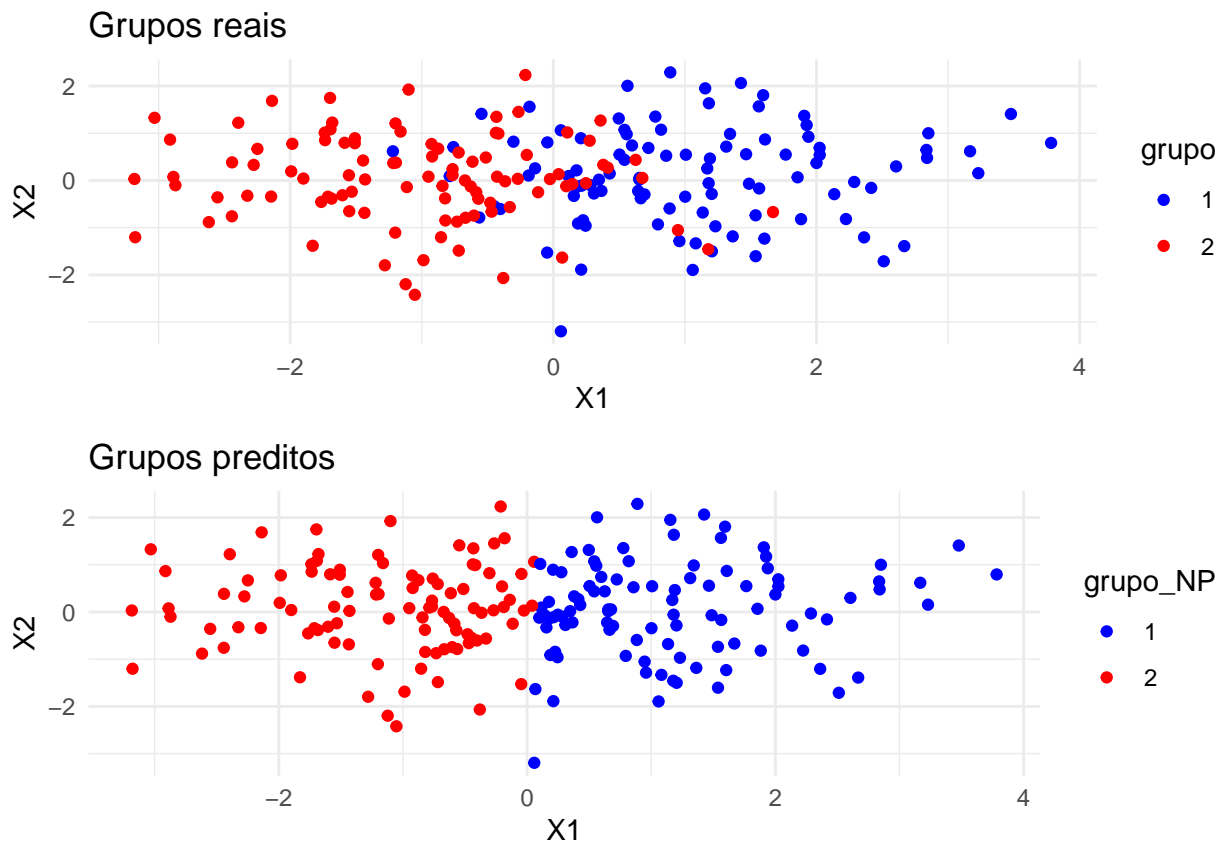
```
v = numeric()
p = 2
S = sigma
for (i in 1:200){
  x = c(df$X1[i], df$X2[i])
  v = append(v, (1/(2*pi)^(p/2)*det(S)^(1/2)*exp((-t((x-mu1)) %*% solve(S) %*% (x-mu1))/2)) /
              (1/(2*pi)^(p/2)*det(S)^(1/2)*exp((-t((x-mu2)) %*% solve(S) %*% (x-mu2))/2)))
}
threshold = quantile(v, probs = 0.5)
df$v = v
df$grupo_NP <- factor(ifelse(df$v > threshold, 1, 2))

df |>
  mutate(acerto = grupo == grupo_NP) |>
  summarise(acertos = sum(acerto), porcentagem = acertos/200)
```

```
##   acertos porcentagem
## 1      172          0.86
```

```
plot1 <- ggplot(df, aes(x = X1, y = X2, color = grupo)) +
  geom_point() +
  scale_color_manual(values = c("blue", "red")) +
  labs(title = "Grupos reais", x = "X1", y = "X2") +
  theme_minimal()
plot2 <- ggplot(df, aes(x = X1, y = X2, color = grupo_NP)) +
  geom_point() +
  scale_color_manual(values = c("blue", "red")) +
  labs(title = "Grupos preditos", x = "X1", y = "X2") +
  theme_minimal()

gridExtra::grid.arrange(plot1, plot2, nrow = 2)
```

Daqui, vemos que as regiões Ω_1 e Ω_2 foram definidas em função apenas de X_1 . É um resultado esperado, se lembrarmos que os vetores de média $\mu_{\omega_1} = [1, 0]^T$ e $\mu_{\omega_2} = [-1, 0]^T$, com matriz de variância-covariâncias iguais. Portanto, a “fronteira” foi colocada no quantil 0,5 da razão de verossimilhanças, que no caso se aproxima de $X_1 = 0$. Ou seja, para $X_1 \in (-\infty, 0)$ o grupo predito é 2 e para $X_1 \in (0, \infty)$ o grupo predito é 1, $\forall X_2 \in \mathbb{R}$.

d)

```
for(i in 1:10){
  x = rnorm(2)
  print(x)
  v = (1/(2*pi)^(p/2)*det(S)^(1/2)*exp((-t((x-mu1)) %*% solve(S) %*% (x-mu1))/2)) /
      (1/(2*pi)^(p/2)*det(S)^(1/20)*exp((-t((x-mu2)) %*% solve(S) %*% (x-mu2))/2))
  if (v > threshold) {
    print("A coordenada x pertence a Omega_1")
  } else {
    print("A coordenada x pertence a Omega_2")
  }
}
```

```
## [1] -2.1031977 -0.2078885
## [1] "A coordenada x pertence a Omega_2"
## [1] -0.20250891 -0.05871562
## [1] "A coordenada x pertence a Omega_2"
## [1] 0.6404972 -2.4584235
## [1] "A coordenada x pertence a Omega_1"
## [1] 0.7631479 2.2331193
## [1] "A coordenada x pertence a Omega_1"
## [1] 0.000348967 0.345592195
```

```
## [1] "A coordenada x pertence a Omega_2"
## [1] -0.6024674 -0.3930986
## [1] "A coordenada x pertence a Omega_2"
## [1] 0.4266663 -1.6263373
## [1] "A coordenada x pertence a Omega_1"
## [1] 0.7828925 -0.8066416
## [1] "A coordenada x pertence a Omega_1"
## [1] -1.3581185 -0.7228481
## [1] "A coordenada x pertence a Omega_2"
## [1] 0.3252362 0.2982357
## [1] "A coordenada x pertence a Omega_1"
```

Desta, reforça-se o inferido em c). A fronteira de decisão se aproxima de $X1 = 0$.

4)

$$\mathbb{P}(\mathbf{x}|\omega_1) \sim \mathbf{N}_{\mathbf{p}}(\mu_1, \Sigma)$$

$$\mathbb{P}(\mathbf{x}|\omega_2) \sim \mathbf{N}_{\mathbf{p}}(\mu_2, \Sigma)$$

Temos

$$f_1(\mathbf{x}) = \frac{1}{(2\pi)^{\frac{p}{2}} |\Sigma|^{\frac{1}{2}}} \exp\left\{-\frac{1}{2}(\mathbf{x} - \mu_1)^T \Sigma^{-1} (\mathbf{x} - \mu_1)\right\}$$

e

$$f_2(\mathbf{x}) = \frac{1}{(2\pi)^{\frac{p}{2}} |\Sigma|^{\frac{1}{2}}} \exp\left\{-\frac{1}{2}(\mathbf{x} - \mu_2)^T \Sigma^{-1} (\mathbf{x} - \mu_2)\right\}$$

para um vetor de características \mathbf{x} .

Assim:

$$\frac{f_1(\mathbf{x})}{f_2(\mathbf{x})} = \frac{\exp\left\{-\frac{1}{2}(\mathbf{x} - \mu_1)^T \Sigma^{-1} (\mathbf{x} - \mu_1)\right\}}{\exp\left\{-\frac{1}{2}(\mathbf{x} - \mu_2)^T \Sigma^{-1} (\mathbf{x} - \mu_2)\right\}}$$

Ainda,

$$\begin{aligned} \mathcal{L}(\mathbf{x}) &= \ln\left(\frac{f_1(\mathbf{x})}{f_2(\mathbf{x})}\right) = -\frac{1}{2}(\mathbf{x} - \mu_1)^T \Sigma^{-1} (\mathbf{x} - \mu_1) + \frac{1}{2}(\mathbf{x} - \mu_2)^T \Sigma^{-1} (\mathbf{x} - \mu_2) \\ &= -\frac{1}{2}\mathbf{x}^T \Sigma^{-1} \mathbf{x} + \frac{1}{2}\mathbf{x}^T \Sigma^{-1} \mu_1 + \frac{1}{2}\mu_1^T \Sigma^{-1} (\mathbf{x} - \mu_1) + \frac{1}{2}\mathbf{x}^T \Sigma^{-1} \mathbf{x} - \frac{1}{2}\mathbf{x}^T \Sigma^{-1} \mu_2 - \frac{1}{2}\mu_2^T \Sigma^{-1} (\mathbf{x} - \mu_2) \\ &= \frac{1}{2}\mathbf{x}^T \Sigma^{-1} \mu_1 - \frac{1}{2}\mathbf{x}^T \Sigma^{-1} \mu_2 + \frac{1}{2}\mu_1^T \Sigma^{-1} \mathbf{x} - \frac{1}{2}\mu_1^T \Sigma^{-1} \mu_1 - \frac{1}{2}\mu_2^T \Sigma^{-1} \mathbf{x} + \frac{1}{2}\mu_2^T \Sigma^{-1} \mu_2 \end{aligned}$$

Como $(\mathbf{x}^T \Sigma^{-1} \mu_1)^T$ e $(\mathbf{x}^T \Sigma^{-1} \mu_2)^T$ são escalares, $\mathbf{x}^T \Sigma^{-1} \mu_1 = (\mathbf{x}^T \Sigma^{-1} \mu_1)^T$, e $\mathbf{x}^T \Sigma^{-1} \mu_2 = (\mathbf{x}^T \Sigma^{-1} \mu_2)^T = \mu_2^T \Sigma^{-1} \mathbf{x}$, uma vez que também Σ^{-1} é simétrico. Assim,

$$\begin{aligned} \mathcal{L}(\mathbf{x}) &= \frac{1}{2}\mu_1^T \Sigma^{-1} \mathbf{x} + \frac{1}{2}\mu_1^T \Sigma^{-1} \mathbf{x} - \frac{1}{2}\mu_2^T \Sigma^{-1} \mathbf{x} - \frac{1}{2}\mu_2^T \Sigma^{-1} \mathbf{x} - \frac{1}{2}\mu_1^T \Sigma^{-1} \mu_1 + \frac{1}{2}\mu_2^T \Sigma^{-1} \mu_2 \\ &= -\frac{1}{2}(\mu_1^T \Sigma^{-1} \mu_1 - \mu_2^T \Sigma^{-1} \mu_2) + (\mu_1 - \mu_2)^T \Sigma^{-1} \mathbf{x} \end{aligned}$$

$= \beta_0 + \beta^T \mathbf{x}$. Logo, $\mathcal{L}(\mathbf{x})$ é linear em relação ao vetor de características \mathbf{x} \square

5)

Utilizando do conjunto de dados *iris*, irei realizar uma análise de discriminante em *R* e outra em *Julia*.

Não irei separar o conjunto em treino-teste. Farei a análise de discriminante linear (LDA) diretamente no conjunto de dados, apenas para comparar a implementação em *R* e *Julia*.

Em *R*, poderíamos realizar a análise de discriminantes com o seguinte código, utilizando dos pacotes *caret* e *MASS*: [1]

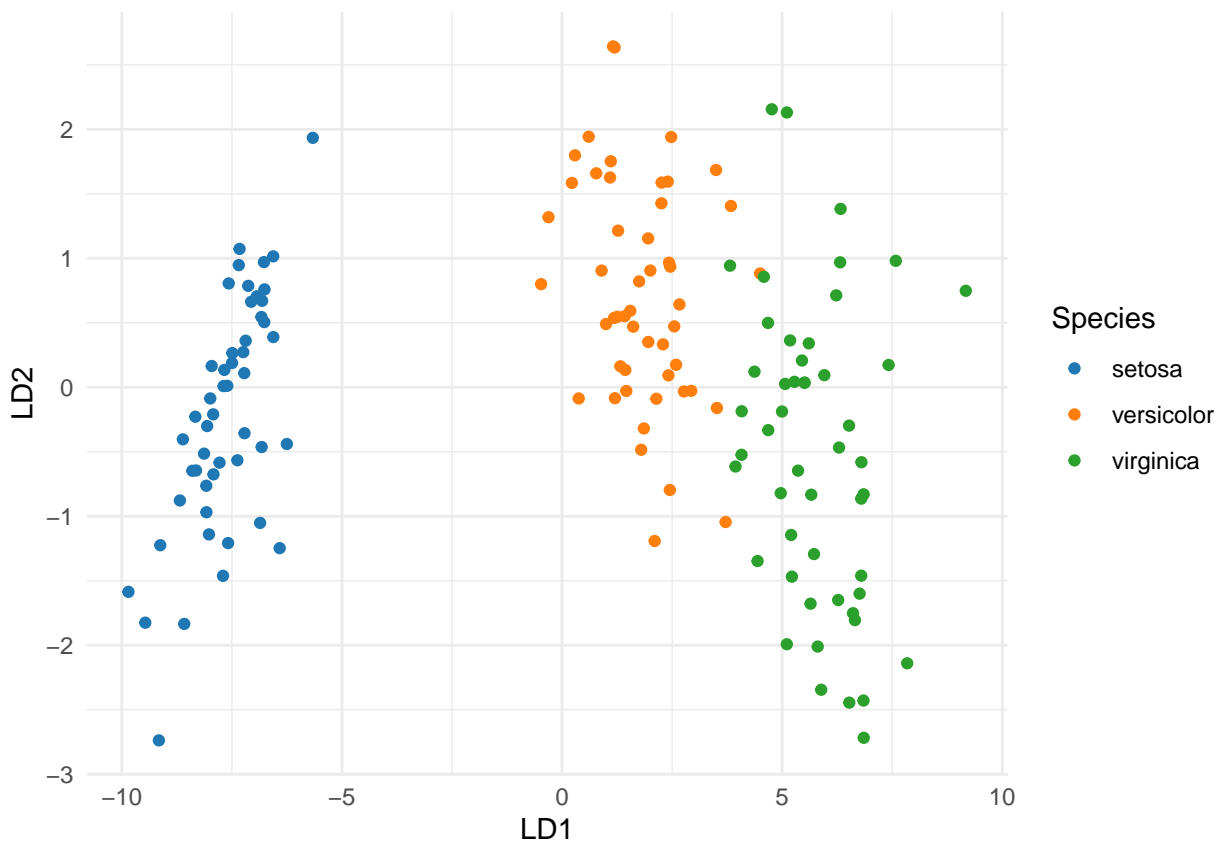
```
preproc.param <- iris %>%
  preProcess(method = c("center", "scale"))

iris.transformed <- preproc.param %>%
  predict(iris)

model <- lda(Species~., data = iris.transformed)

lda.data <- cbind(iris.transformed, predict(model)$x)
lda.data$LD1 <- lda.data$LD1 * -1

ggplot(lda.data, aes(LD1, LD2)) +
  geom_point(aes(color = Species)) +
  scale_color_manual(values = c("setosa" = "#1F77B4",
                                "versicolor" = "#FF7F0E",
                                "virginica" = "#2CA02C")) +
  theme_minimal()
```



Com *Julia*, poderíamos realizar uma análise análoga com o seguinte código: [2]

```
using MultivariateStats, RDatasets, Plots

iris = dataset("datasets", "iris")

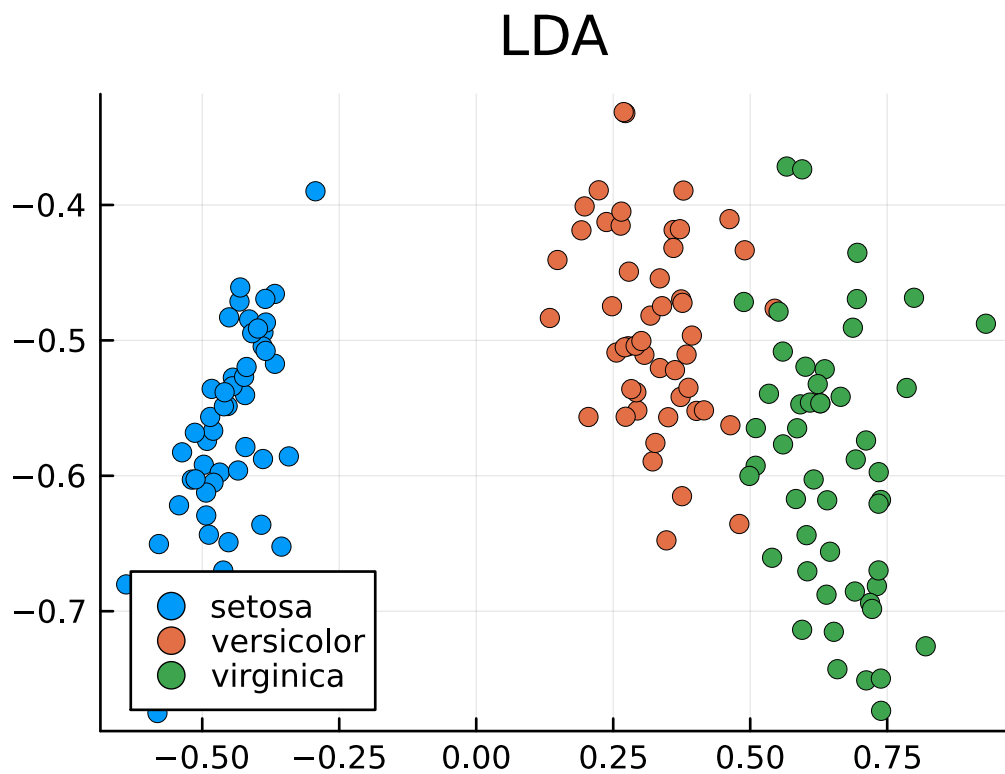
X = Matrix(iris[1:end,1:4])'
X_labels = Vector(iris[1:end,5])

lda = fit(MulticlassLDA, X, X_labels; outdim=2)
Ylda = predict(lda, X)

p = plot(size=(400,300))

for s in ["setosa", "versicolor", "virginica"]
    points = Ylda[:,X_labels.==s]
    scatter!(p, points[1,:],points[2,:], label=s, legend=:bottomleft)
end

plot!(p, title="LDA")
```



Referências:

- [1] Discriminant Analysis Essentials in R. <http://www.sthda.com/english/articles/36-classification-methods-essentials/146-discriminant-analysis-essentials-in-r/> Acessado em: 28/04/2024, 14:13.
- [2] Linear Discriminant Analysis. <https://juliastats.org/MultivariateStats.jl/dev/lda/> Acessado em: 28/04/2024, 14:13.